

ISSN 0136-3603

МИНИСТЕРСТВО ВЫСШЕГО И СРЕДНЕГО
СПЕЦИАЛЬНОГО ОБРАЗОВАНИЯ СССР

ИЗВЕСТИЯ ВЫСШИХ УЧЕБНЫХ
ЗАВЕДЕНИЙ

ЭЛЕКТРОМЕХАНИКА

2
1982

ИЗДАНИЕ НОВОЧЕРКАССКОГО ОРДЕНА ТРУДОВОГО
КРАСНОГО ЗНАМЕНИ ПОЛИТЕХНИЧЕСКОГО ИНСТИТУТА
ИМЕНИ СЕРГО ОРДЖОНИКИДЗЕ

УДК 62-83:62-523.8

ВЫБОР РАЦИОНАЛЬНЫХ ПАРАМЕТРОВ ПРИ АНАЛИЗЕ И СИНТЕЗЕ ЦИФРОВЫХ РЕГУЛЯТОРОВ СКОРОСТИ

С. Н. Радимов

Рассмотрены соотношения, связывающие статические и динамические характеристики аналоговой системы регулирования скорости, которые следует учитывать при разработке цифровых регуляторов скорости. Разработаны рекомендации по выбору рациональных параметров системы, позволяющих простым путем определять по заданным требованиям к системе с цифровым регулятором скорости ее характеристики.

НАЗНАЧЕНИЕ регулятора скорости двигателя состоит в поддержании заданного ее значения или программном изменении. Функциональная схема электропривода при цифровом регулировании изображена на рис. 1. Цифровое значение заданной скорости Ω^* в регуляторе скорости (РС) сравнивается с измеренным значением скорости Ω^* и, в соответствии с алгоритмом управления, рассчитывается задание контуру тока U_{3Y}^* . Вычисление этого задания осуществляется один раз за интервал квантования T_0 . В блоке ЗУ оно запоминается до выработки задания на следующем интервале, преобразуется в блоке ЦАП из цифровой формы в аналоговую и поступает к контуру регулирования тока (КРТ). Для измерения скорости на валу двигателя устанавливается импульсный датчик, частота импульсов которого пропорциональна угловой скорости, а количество импульсов — пройденному пути. Сигналы от датчика поступают к измерителю скорости (ИС), преобразующему информацию в цифровую форму Ω^* . Рассматриваемая функциональная схема соответствует системе комбинированного управления, в которой, помимо цифрового управляющего устройства, есть подчиненный аналоговый контур тока, отрабатывающий сигналы, поступающие от внешнего цифрового регулятора.

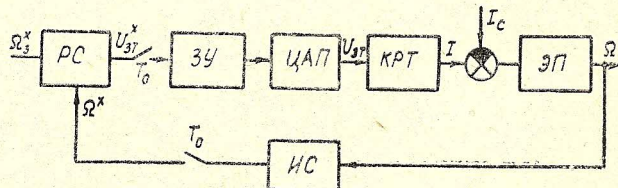


Рис. 1. Функциональная схема электропривода с цифровым регулятором скорости: ЗУ—запоминающее устройство; ЦАП—цифро-аналоговый преобразователь; ЭП—электромеханическая часть привода

Для разработки алгоритма регулятора скорости необходимо располагать в качестве исходных следующими параметрами и зависимостями: величинами интервала квантования по времени и дискрет по скорости и току, моментом статического сопротивления и максимально допустимым током, а также расчетным соотношением, по которому

му вычисляется задание конгуратора тока, исходя из замеренной ошибки по скорости.

Обычно для разработки алгоритмов цифровых регуляторов применяют частотные методы. Так, в [1] рассмотрен основной путь синтеза цифровых регуляторов, предусматривающий использование метода логарифмических частотных характеристик для получения дискретной передаточной функции $D(z)$ регулятора. В зависимости от вида желаемой логарифмической частотной характеристики системы синтезированный регулятор реализует пропорциональный (П) или пропорционально-интегральный (ПИ) закон [2]. В аналоговых системах с подчиненным регулированием при настройке их в соответствии с модульным или симметричным оптимумом получаются такие же законы. Ряд авторов, например [3], приводят результаты исследования динамических характеристик цифровых систем и сопоставление их со свойствами аналоговых. Эти характеристики при цифровом управлении приближаются к характеристикам аналоговых систем, причем, чем меньше интервал квантования по времени, тем ближе их свойства.

Конкретные рекомендации по выбору величины интервала квантования по времени в литературе отсутствуют. В [1] рекомендуется ограничение, базирующееся на теореме Котельникова:

$$T_0 \omega_c \ll 2, \quad (1)$$

где ω_c — частота среза системы.

В [4] аналитическим методом (по критерию Шур-Кона) показано, что система с цифровым регулятором скорости устойчива при периоде квантования

$$T_0 < 6T, \quad (2)$$

где T — постоянная интегрирования контура тока.

Рассмотрим отличающийся от известных подход к разработке алгоритма цифрового регулятора, реализующего как типовые (пропорциональный, пропорционально-интегральный), так и другие законы. Он позволяет наиболее полно учитывать свойства объекта регулирования при выборе величины периода квантования, обеспечивать взаимную увязку требований по точности измерения и регулирования подчиненных координат, а алгоритму функционирования регулятора отвечать требованию минимальной сложности.

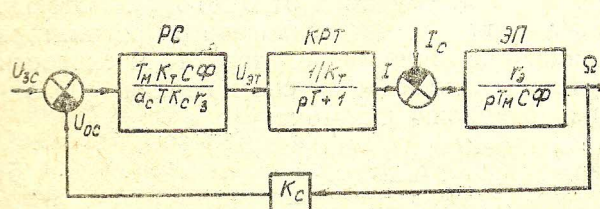


Рис. 2. Структурная схема аналоговой системы регулирования скорости: РС — регулятор скорости; КРТ — замкнутый контур регулирования тока; ЭМ — электромеханическая часть привода; U_{3c} , U_{oc} — сигналы задания и обратной связи по скорости; U_{3t} — сигнал задания по току; I , I_c — ток двигателя и его статическая составляющая; Ω — скорость двигателя

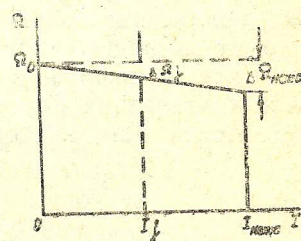


Рис. 3. Статическая характеристика аналоговой системы регулирования скорости

Проанализируем основные соотношения, присущие аналоговым системам подчиненного регулирования электропривода, на которые будем опираться при выборе основных параметров цифровой системы управления. Полагаем, что система управления выполнена двухконтурной, с контурами тока якорной цепи и скорости двигателя (рис. 2);

Электромеханический контур

контура скорости настроен на модульный оптимум [5], а влияние обратной связи по ЭДС двигателя несущественно.

Известно, что в такой системе регулятор скорости является пропорциональным, а электромеханическая характеристика привода $\Omega = f(I)$ соответствует представленной на рис. 3. Эту характеристику можно рассматривать с двух позиций. Во-первых, как изменение скорости в установившемся режиме при изменении нагрузки, приложенной к валу двигателя, и, во-вторых, как зависимость задания контура тока от величины рассогласования между заданным и фактическим значениями скорости. Наклон рабочего участка характеристики однозначно определяется коэффициентом регулятора скорости

$$k_{pc} = \frac{r_m k_t c \Phi}{T_c = (a_c T_k r_e)} \quad (3)$$

В (3), помимо статических параметров привода и системы управления (k_t , k_c — соответственно коэффициенты обратных связей по току и скорости; $c\Phi$ — постоянная двигателя; r_e — эквивалентное активное сопротивление якорной цепи), входят также и динамические параметры (r_m — электромеханическая постоянная времени привода; T — постоянная интегрирования контура тока; $a_c T = T_c$ — постоянная интегрирования контура скорости). Поэтому наклон характеристики жестко связан со свойствами системы не только в установившемся режиме (со статизмом), но и в переходных режимах (например, с перерегулированием). Если увеличить коэффициент k_{pc} , то наклон характеристики (статизм) уменьшится при одновременном росте перерегулирования.

Ограничение выходного напряжения регулятора скорости, являющегося сигналом задания контуру тока, определяется предельно допустимым значением тока якорной цепи I_{\max} .

Установим связь между величиной рассогласования по скорости $\Delta\Omega$ (разность заданной и замеренной скорости) и сигналом задания контура тока. Например, при рассогласовании $\Delta\Omega > \Delta\Omega_{\max}$ заданный ток будет равен току упора I_{\max} . При рассогласовании $\Delta\Omega < \Delta\Omega_{\max}$ задание контура тока будет соответствовать величине I_j

$$I_j = \frac{\Delta\Omega_j}{\Delta\Omega_{\max}} I_{\max} \quad (4)$$

Таким образом, изменение рассогласования по скорости от 0 до $\Delta\Omega_{\max}$ вызывает рост задания контура тока от 0 до I_{\max} . Отсюда следует вывод, справедливый при замене аналогового регулятора скорости на цифровой: по заданной точности регулирования скорости (шаг квантования по уровню) δ_Ω на основании соотношения (4) определяется шаг квантования по уровню для тока

$$\delta_I = \frac{\delta_\Omega}{\Delta\Omega_{\max}} I_{\max} \quad (5)$$

Опираясь на (4) и (5), можно утверждать, что если в цифро-анalogовой системе при рассогласовании по скорости на величину $\Delta\Omega$, контуру тока на очередной интервал квантования поступает задание I_j , то при этом условии цифро-анalogовая и аналоговая системы обладают одинаковой жесткостью рабочих участков электромеханических характеристик.

Зная величины шагов квантования по уровню δ_Ω и δ_I , находим количество двоичных разрядов цифрового регулятора скорости и цифро-анalogового преобразователя. Для представления максимальной скорости Ω_0 необходимо

$$m_\Omega = \left[\frac{\Omega_0}{\delta_\Omega} \right] + 1 \text{ дискрет,} \quad (6)$$

а для максимального тока

$$m_I = \left[\frac{I_{\max}}{\delta_I} \right] + 1 \text{ дискрет.} \quad (7)$$

Следовательно, число двоичных разрядов цифрового регулятора скорости составляет

$$M_\Omega = [\log_2 m_\Omega] + 1. \quad (8)$$

По аналогичной (8) зависимости определяется разрядность ЦАП

$$M_I = [\log_2 m_I] + 1. \quad (9)$$

Для характеристики динамических свойств объекта найдем временной интервал, в течение которого привод, по якорной цепи которого протекает неизменный динамический ток $I_{\text{дин}} = I_j$, вызванный в соответствии с (4) рассогласованием по скорости $\Delta\Omega_j$, полностью устранит это рассогласование. Воспользуемся уравнением движения, записанным в конечных разностях

$$c\Phi I_j = J \frac{\Delta\Omega_j}{\Delta t}, \quad (10)$$

где J —момент инерции привода; Δt —искомый временной интервал.
Применяя (4), решаем (10) относительно Δt

$$\Delta t = \frac{J\Delta\Omega_j}{c\Phi I_j} = \frac{J\Delta\Omega_{\max}}{c\Phi I_{\max}}. \quad (11)$$

Анализируя (11), можно отметить, что время устранения рассогласования $\Delta\Omega_j$ при неизменном динамическом токе I_j будет таким же, как и для устранения рассогласования $\Delta\Omega_{\max}$ при динамическом токе I_{\max} . Таким образом, устранение любого рассогласования, не выходящего за пределы рабочего участка электромеханической характеристики, при постоянном динамическом токе, определяемом соотношением (4), происходит за одно и то же время.

Воспользуемся выражением для установившейся величины максимального статического падения скорости $\Delta\Omega_{\max}$ в функции тока, аналогичным приведенному в [5].

$$\Delta\Omega_{\max} = \frac{I_{\max} r_e}{c\Phi} \cdot \frac{a_c T}{T_m}. \quad (12)$$

Подставляя это выражение в (11), находим, что величина интервала времени равна постоянной интегрирования аналогового контура скорости

$$\Delta t = a_c T. \quad (13)$$

Отсюда следует, что в течение интервала времени $a_c T$ происходит устранение рассогласования по скорости величиной $\Delta\Omega_j \leq \Delta\Omega_{\max}$, если обусловленный этим рассогласованием динамический ток $I_j \leq I_{\max}$ поддерживать постоянным в течение указанного интервала. На основании этого свойства можно оценивать минимальное время перехода от одного значения скорости к другому. Например, минимальное время разгона привода вхолостую из неподвижного состояния до скорости Ω_0 равно

$$t_{\min} = \frac{\Omega_0}{\Delta\Omega_{\max}} a_c T = k_p a_c T. \quad (14)$$

Соотношения (4)–(9), (13) и (14), ввиду их простоты, удобно применять при расчетах систем с цифровым управлением.

Установим связь между изменениями тока якорной цепи и скорости двигателя во времени. Для этого воспользуемся структурной схемой прямого канала регулирования скорости (рис. 4). Прираще-

ние скорости за некоторый интервал времени определяется интегралом динамического тока

$$\Delta \Omega(t) = \frac{r_s}{c\Phi T_m} \int_0^t I_{\text{дин}} dt = \frac{r_s}{c\Phi T_m} \int_0^t (I - I_c) dt, \quad (15)$$

где I_c — статический ток.

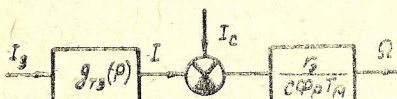


Рис. 4. Структурная схема прямого канала регулирования скорости: $g_{T3}(p)$ — передаточная функция замкнутого контура регулирования тока

Если контур регулирования тока описывается звеном первого порядка, при котором его выходная координата изменяется по закону

$$I = I_3 - e^{-t/T} (I_3 - I_{\text{нач}}), \quad (16)$$

где $I_3 = U_{\text{зт}}/k_t$, $I_{\text{нач}}$ — соответственно заданное и начальное значения тока, то приращение скорости записывается

$$\begin{aligned} \Delta \Omega(t) &= \frac{r_s}{c\Phi T_m} \int_0^t [I_3 - e^{-t/T} (I_3 - I_{\text{нач}}) - I_c] dt = \\ &= \frac{r_s t}{c\Phi T_m} [I_3 - \frac{t}{T} (1 - e^{-t/T}) (I_3 - I_{\text{нач}}) - I_c]. \end{aligned} \quad (17)$$

При выборе интервала квантования по времени $T_0 = a_c T$, приращение скорости за интервал составляет

$$\Delta \Omega[T_0] = \frac{r_s a_c T}{c\Phi T_m} [I_3 - \frac{1}{a_c} (1 - e^{-a_c}) (I_3 - I_{\text{нач}}) - I_c]. \quad (18)$$

Условимся в качестве единичной скорости принимать дискрету $\delta \omega$, которая равна приращению скорости, происходящему за единичное время — интервал квантования по времени $T_0 = a_c T$ при неизменном единичном динамическом токе — дискрете δ_I .

Единичные величины дают возможность перейти к относительным значениям скорости $\omega = \Omega/\delta \omega$ и тока $i = I/\delta_I$, измеряемым числом дискрет. Такое представление удобно, так как соответствует переходу к числам, которыми оперируют цифровые регуляторы. Их применение позволяет упростить выражение для приращения скорости (18), записав его для n -го интервала

$$\Delta \omega[n] = i_3[n] - \frac{1}{a_c} (1 - e^{-a_c}) \{i_3[n] - i_3[n-1]\} - i_c[n]. \quad (19)$$

Это соотношение определяет алгоритм функционирования объекта управления контура скорости, в котором учтены статические и динамические свойства объекта; соотношение является исходным при разработке алгоритма цифрового регулятора скорости.

ЛИТЕРАТУРА

- Федоров С. М., Литвинов А. П. Автоматические системы с цифровыми управляемыми машинами.—М.: Энергия, 1965, с. 224.
- Перельмутер В. М. Анализ цифровых регуляторов частоты вращения с кодовым представлением информации.—Электротехническая промышленность. Сер. Электропривод, 1979, вып. 7 (78), с. 20—25.
- Силаев Э. Ф., Неймарк В. Е., Рахинштейн И. Х. и др. Система регулирования частоты вращения тиристорного электропривода постоянного тока с ЭВМ.—Электротехническая промышленность. Сер. Электропривод, 1979, вып. 9 (80).
- Слежановский О. В., Хуторецкий В. М. Устойчивость систем цифроаналогового регулирования скорости с циклической и спорадической дискретизацией сигналов.—Электротехническая промышленность. Сер. Электропривод, 1977, вып. 6 (59).
- Лебедев Е. Д., Неймарк В. Е., Пистрак М. Я. и др. Управление вентильными электроприводами постоянного тока.—М.: Энергия, 1970, с. 200.